

УДК 677.11.620.1

**ВЫВОД ОПРЕДЕЛЯЮЩИХ СООТНОШЕНИЙ
ДЛЯ ПРОЦЕССА ВЗАИМОДЕЙСТВИЯ ЛЬНЯНОГО СЫРЦА
С РАБОЧЕЙ КРОМКОЙ БИЛА ПРИ ТРЕПАНИИ**

A.Б. ЛАПШИН, Е. Л. ПАШИН

(Всероссийский НИИ по переработке лубяных культур)

Силовой анализ взаимодействия текстильного материала с шероховатой поверхностью позволяет установить взаимосвязь между силой натяжения, силой нормального давления поверхности на материал, поперечной силой и изгибающими моментами [1...7]. В [6, 7], хотя и получены решения дифференциальных уравнений для поперечных сил при допущении $4k^2rh/(r+h)^2 \ll 1$, (k – коэффициент трения, r – радиус поверхности, h – половина толщины материала), отсутствует методика конкретного определения начальной величины (в сечении набегания) поперечной силы. Кроме того, решения для сил натяжения в [6, 7] включают составляющие Эйлера вида $T_0 \exp(k\varphi)$ (T_0 – сила натяжения в ведомой ветви, φ – угол охвата), что не соответствует результатам [4, 5], согласно которым составляющие Эйлера имеют вид $T_0 \exp(k\varphi r/(r+h))$.

Цель данной работы – устранить указанное несоответствие и получить решение для поперечной силы в общем случае (без упомянутого выше допущения), что позволит выявить роль различных ускорений и сил в формировании силы натяжения при воздействии била трепального барабана на льняного сырца. Под определяющими

ми соотношениями будем понимать систему дифференциальных уравнений и окончательные аналитические выражения для упомянутых сил.

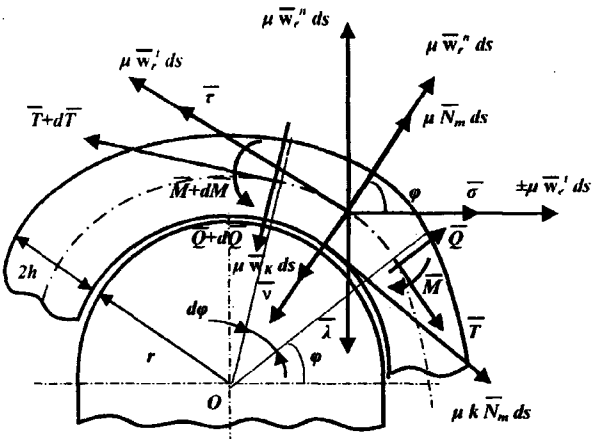


Рис. 1

Рассмотрим в процессе трепания движение слоя льняного сырца толщиной $2h$ по цилиндрической поверхности рабочей кромки радиуса r в плоскости нормально-го сечения цилиндра (рис.1). Выделим двумя сечениями бесконечно малый элемент слоя ds , соответствующий элементарному углу $d\varphi$. Проведем естественные оси $\bar{\tau}$ и \bar{v} и оси $\bar{\sigma}$ и $\bar{\lambda}$, имеющие общее

начало и направленные по касательной и главной нормали к оси слоя и к траектории центра масс элемента ds в его переносном движении. Ось $\bar{\lambda}$ направлена к оси барабана.

Покажем действующие на элемент ds силы натяжения \bar{T} и $\bar{T} + d\bar{T}$, равнодействующие силы нормального давления рабочей поверхности $d\bar{N} = \mu \bar{N}_m ds$ и трения по Амонтону $d\bar{F} = k \mu \bar{N}_m ds$, поперечные силы \bar{Q} и $\bar{Q} + d\bar{Q}$, изгибающие моменты \bar{M} и $\bar{M} + d\bar{M}$, силы инерции $\mu \bar{w}_e^t ds$ и $\mu \bar{w}_e^n ds$, вызванные переносным движением поверхности, силы инерции $\mu \bar{w}_r^t ds$ и $\mu \bar{w}_r^n ds$ вследствие относительного движения слоя, силу инерции Кориолиса $\mu \bar{w}_K ds$.

Силы \bar{N}_m и $k\bar{N}_m$ считаем отнесенными к единице массы, коэффициент μ – масса единицы длины слоя. Силы сопротивления воздушных потоков и силы тяжести не учитываем [7], слой толщины $2h$ полагаем несминаемым. При вычислении составляющих переносного ускорения пренебрегаем различием расстояния точек поверхности кромки от оси вращения барабана, поскольку радиус рабочей кромки мал по сравнению с радиусом последнего [7].

Дифференциальные уравнения плоского движения слоя по рассматриваемой цилиндрической поверхности получим на основании принципа Даламбера. Для этого к внешним силам добавим силы инерции и рассмотрим их равновесие.

Проектируя все силы на оси $\bar{\tau}$ и \bar{v} , получаем уравнения

$$(T + dT) \cos \frac{d\varphi}{2} - T \cos \frac{d\varphi}{2} - (Q + dQ) \cdot \sin \frac{d\varphi}{2} - Q \sin \frac{d\varphi}{2} - dF + \mu ds (w_r^t + w_e^n \cos \varphi \pm w_e^t \sin \varphi) = 0, \quad (1)$$

$$(T + dT) \sin \frac{d\varphi}{2} + T \sin \frac{d\varphi}{2} +$$

$$+ (Q + dQ) \cos \frac{d\varphi}{2} - Q \cos \frac{d\varphi}{2} - dN - \mu ds (w_r^n - w_K + w_e^n \sin \varphi \pm w_e^t \cos \varphi) = 0, \quad (2)$$

где w_K – ускорение Кориолиса; w_r^t, w_r^n – касательная и нормальная составляющие относительного ускорения; w_e^t, w_e^n – касательная и нормальная составляющие переносного ускорения слоя.

Из условия равенства нулю суммы моментов всех сил относительно центра О (рис.1) рабочей кромки будем иметь:

$$- M_1 + M_2 + (r + h)T + r dF - (r + h)(T + dT) - (r + h)dI_\tau + (r + h)Qd\varphi = 0, \quad (3)$$

где $M_1, M_2 = M_1$ – изгибающие моменты в сечениях элемента ds ,

$$dI_\tau = \mu ds (w_r^t + w_e^n \cos \varphi \pm w_e^t \sin \varphi).$$

Для того, чтобы система стала определенной, добавим уравнения, связывающие кривизну оси упругого слоя с изгибающим моментом и поперечной силой [6, 7]:

$$\pm \frac{dM}{ds} + Q + \frac{dF}{ds} h = 0, \quad (4)$$

$$M = \frac{B_0}{\varrho}, \quad B_0 = EJ, \quad (5)$$

где $\varrho = r + h$ – радиус кривизны оси слоя на рабочей кромке; B_0 – коэффициент жесткости слоя на изгиб; E – модуль про-

дольной упругости слоя волокна; J – осевой момент инерции площади поперечного сечения слоя.

В уравнении (4) перед первым членом знаки (+) и (-) соответствуют движению слоя по направляющей в сторону увеличения и уменьшения его кривизны [6] соответственно. Направление положительного отсчета s совпадает с направлением движения слоя. Третий член в (4) учитывает эксцентрично приложенную силу трения относительно оси слоя.

Таким образом, система уравнений (1...4) служит для определения T, N, Q, M в зависимости от аргумента φ . Учитывая малость угла $d\varphi$ и пренебрегая величинами второго порядка малости, после преоб-

разований из (1) и (2) получаем дифференциальные уравнения:

$$dT - dF - Q d\varphi + dI_\tau = 0, \quad (6)$$

$$T d\varphi - dN + dQ + dI_n = 0, \quad (7)$$

где $dI_n = \mu(r+h)(w_K - w_r^n - w_e^n \sin \varphi \pm w_e^t \cos \varphi) d\varphi$.

Далее полагаем, что вращение трепальных барабанов равномерное, то есть $w_e^t = 0$. Исключив dN из (6) и (7), выразим dF :

$$dF = k[T d\varphi + k dT + dQ + k Q d\varphi + dI_n - k dI_\tau]. \quad (8)$$

Подставив (8) в (3), запишем:

$$\frac{dT}{d\varphi} - \frac{k r T}{r+h} = \frac{k r}{r+h}.$$

$$\begin{aligned} &\cdot \left[\frac{dQ}{d\varphi} + \mu(r+h)(w_K - w_r^n - w_e^n \cos \varphi) \right] + \\ &+ Q - \mu(r+h)(w_r^t - w_e^n \cos \varphi). \end{aligned} \quad (9)$$

Поскольку нормальная составляющая относительного ускорения w_r^n не зависит от φ и $w_r^n = v_r^2 / (r+h)$, $v = v_r$ – относительная скорость слоя на кромке, то из (9) следует

$$\frac{d(T - \mu v^2)}{d\varphi} - \frac{k r (T - \mu v^2)}{r+h} =$$

$$= \frac{k r}{r+h} \left[\frac{dQ}{d\varphi} + \mu(r+h)(w_K - w_e^n \sin \varphi) \right] +$$

$$+ Q - \mu(r+h)(w_r^t - w_e^n \cos \varphi). \quad (10)$$

Дифференциальное уравнение (10) является линейным относительно T и его частное решение при начальном условии $T(\varphi=0) = T_0$ имеет вид:

$$\begin{aligned} T(\varphi) = & T_0 e^{a\varphi} - \mu v^2 (e^{a\varphi} - 1) + \\ & + \mu(r+h) \left(w_K - \frac{w_r^n}{a} \right) (e^{a\varphi} - 1) - \\ & - \frac{\mu k r w_e^n}{1+a^2} \left[e^{a\varphi} - \cos \varphi - a \sin \varphi \right] - \\ & - \frac{\mu(r+h) w_e^n}{1+a^2} \cdot \\ & \cdot \left[a e^{a\varphi} - a \cos \varphi + \sin \varphi \right] + T_Q, \end{aligned} \quad (11)$$

$$a = \frac{k r}{r+h}, T_Q = e^{a\varphi} \int_0^\varphi e^{-a\varphi} \left(Q + a \frac{dQ}{d\varphi} \right) d\varphi. \quad (12)$$

Первое слагаемое в (11) представляет собой составляющую Эйлера в величине

силы натяжения T ; второе слагаемое определяется нормальной составляющей относительного ускорения слоя на кромке w_r^n ; третье слагаемое определяется ускорением Кориолиса w_K и касательной составляющей относительного ускорения w_r^t ; четвертый и пятый член в правой части (11) отражают вклад в силу натяжения нормальной составляющей переносного ускорения w_e^n ; шестое слагаемое T_Q отражает влияние поперечных сил и будет определено ниже.

Из (7) с учетом (11) получаем массовую (отнесенную к единице массы) силу нормального давления поверхности кромки на слой:

$$N_m(\varphi) = \frac{1}{\mu(r+h)} \left[T(\varphi) + \frac{dQ}{d\varphi} \right] + \\ + w_K - w_r^n - w_e^n \sin \varphi. \quad (13)$$

Таким образом, влияние поперечных сил на величину силы нормального давления проявляется через T_Q (формулы (11), (12)) и через $dQ/d\varphi$ (формула (13)). Выражение А.П.Минакова [1, 2, 7] для силы нормального давления является частным случаем соотношения (13).

Исключив из (4...7) T, N, F , будем иметь дифференциальное уравнение относительно Q (совпадающее с соответствующим уравнением из [6]):

$$\frac{d^2Q}{d\varphi^2} + \frac{r+h}{kh} \frac{dQ}{d\varphi} - \frac{r}{h} Q = \\ = \mu(r+h)(w_r^t + 2w_e^n \cos \varphi). \quad (14)$$

Для решения (14) применим начальные условия

$$Q(\varphi=0) = Q_0, \quad (15)$$

$$\frac{dQ}{d\varphi}(\varphi=0) = T_0 - \mu v^2 + Q'_0. \quad (16)$$

Выражение (16) следует из известного дифференциального соотношения при изгибе $dQ/d\varphi = T$, если $T = T_0 - \mu v^2$. Величины Q_0 и $Q'_0 = [dQ/d\varphi]_{\varphi=0}$ определяются изменением изгибающего момента у сечения набегания слоя на кромку [8]:

$$Q_0 = T_0 \sin(\beta), Q'_0 = B_0 / (4(r+h)^2),$$

$$\cos(\beta) = 1 - B_0 / (2T_0(r+h)^2).$$

Решение уравнения (14) при начальных условиях (15) и (16) имеет вид:

$$Q(\varphi) = C_1 e^{\lambda_1 \varphi} + C_2 e^{\lambda_2 \varphi} -$$

$$- \frac{\mu h(r+h)}{r} w_r^t - \\ - \frac{2\mu(r+h)w_e^n}{1+r/h+(r+h)/(kh)} \cos \varphi, \quad (17)$$

где

$$\lambda_1 = -\frac{r+h}{2kh} + \sqrt{\frac{(r+h)^2}{4k^2h^2} + \frac{r}{h}}, \quad (18)$$

$$\lambda_2 = -\frac{r+h}{2kh} - \sqrt{\frac{(r+h)^2}{4k^2h^2} + \frac{r}{h}},$$

$$C_1 = [T_0 - \mu v^2 + Q'_0 - \lambda_2 C_3] / (\lambda_1 - \lambda_2), \quad (19)$$

$$C_2 = -[T_0 - \mu v^2 + Q'_0 - \lambda_1 C_3] / \\ / (\lambda_1 - \lambda_2), \quad (20)$$

$$\begin{aligned}
 C_3 = & Q_0 + \mu h(r+h) w_r^t / r + \\
 & + 2\mu(r+h) w_e^n / (1+r/h + \\
 & + (r+h)/(kh)). \quad (21)
 \end{aligned}$$

С учетом (12) и (17...21) выражение для T_Q в (11) примет следующий вид:

$$\begin{aligned}
 T_Q = & \frac{C_1(1+a\lambda_1)}{\lambda_1-a} [e^{\lambda_1\varphi} - e^{a\varphi}] + \\
 & + \frac{C_2(1+a\lambda_2)}{\lambda_2-a} [e^{\lambda_2\varphi} - e^{a\varphi}] + \\
 & + \frac{\mu h(r+h) w_r^t}{ar} (1 - e^{a\varphi}) + \\
 & + \frac{2\mu(r+h)(1-a)w_e^n}{(1+a^2)(1+r/h + (r+h)/(kh))} \cdot \\
 & \cdot \left[e^{a\varphi} - \cos\varphi - \frac{1+a}{1-a} \sin\varphi \right]. \quad (22)
 \end{aligned}$$

Получена модель силового взаимодействия пряди сырца с рабочей кромкой била с учетом поперечных сил в зоне контакта и изгибающих моментов в приконтактных зонах.

ЛИТЕРАТУРА

1. Минаков А.П. Основы механики нити. – В кн.: Научно-исследовательские труды МТИ. – М., 1941. Т. 9. Вып. 1. С.1...88.
2. Щедров В.С. Основы механики гибкой нити. – М.: Машгиз, 1961.
3. Мигушов И.И. Механика текстильной нити и ткани. – М.: Легкая индустрия, 1980.
4. Каган В.М. Взаимодействие нити с рабочими органами текстильных машин. – М.: Легкая и пищевая промышленность, 1984.
5. Севостьянов А.Г., Севостьянов П.А. Моделирование технологических процессов (в текстильной промышленности). – М.: Легкая и пищевая промышленность, 1984.
6. Мигушов И.И. //Изв. вузов. Машиностроение. – 1972, № 8. С.5...9.
7. Суслов Н.Н., Савиновский В.И. //Изв. вузов. Технология текстильной промышленности. – 1975, № 1. С.31...36.
8. Огibalov P.M. и dr.// Прикладная математика и механика. – 1939. Т.3. Вып.3. С.111...123.

Рекомендована Всероссийским НИИ по переработке лубяных культур. Поступила 20.06.01.